

СИКОРА Б. И ДР.  
Б2-15-6111,

+



с15а  
с-356

ОБЪЕДИНЕННЫЙ ИНСТИТУТ ЯДЕРНЫХ ИССЛЕДОВАНИЙ

Б2-15-6111

ДЕПОНИРОВАННАЯ ПУБЛИКАЦИЯ

Дубна 1971г.

ОБЪЕДИНЕННЫЙ ИНСТИТУТ ЯДЕРНЫХ ИССЛЕДОВАНИЙ  
Лаборатория нейтронной физики

Б.Сикора, И.Тыкэ, Я.Тыкэ.

ВЛИЯНИЕ КОНЕЧНОЙ ГЕОМЕТРИИ НА ИЗМЕРЯЕМЫЕ ДИФФЕРЕНЦИАЛЬНЫЕ  
СЕЧЕНИЯ ЯДЕРНЫХ РЕАКЦИЙ.

с.ф. 3250

РУССКОЕ  
В ИЮНЬ  
1971

~~Сикора~~  
~~Тыкэ~~

10 XI

Дубна, 1971г.

Объединенный институт  
ядерных исследований  
БИБЛИОТЕКА

## I. Введение.

Влияние конечной геометрии на измеряемое дифференциальное сечение реакции исследовалось ранее многими авторами ( /1/ + /4/). Обычно такие исследования сводились к поискам некоторых аддитивных поправок, связывающих измеряемое и истинное дифференциальные сечения. Ввиду того, что сами эти поправки зависят явно от искомым, истинных сечений через производные последних по углу, их нельзя на основании эксперимента однозначно определить.

Покажем, как можно с помощью формализма так называемой функции распределения учесть искажения, вводимые конечной геометрией в угловое распределение в случае, если на последнее наложены некоторые естественные связи. Основное наше рассмотрение относится к угловым распределениям реакции, идущих через составное ядро, когда связи выступают в виде требования, чтобы в системе центра масс такие распределения представлялись линейной комбинацией немногих полиномов Лежандра.

В последней части статьи (пример II) покажем, как можно учесть влияние конечной геометрии на дифференциальное сечение, измеряемое под углом  $\theta$ . Эта часть, подобно самому формализму функции распределения, не связана с вышеупомянутыми ограничениями на форму углового распределения.

## II. Функция распределения.

Рассмотрим общий случай геометрии эксперимента, рис. I. Бесконечно малый выход продуктов реакции из элемента мишени  $dV$  в элемент поверхности детектора  $dS$  определяется формулой:

$$dY = dV \cdot dS \cdot \frac{\cos \psi(r_1, r_2)}{r^2(r_1, r_2)} \sigma(\tilde{\theta}(r_1, r_2)) N \cdot n \quad (I)$$

- где  $\tau_1, \tau_2$  - ~~нормальные~~ <sup>декартовы</sup> координаты элементов мишени и детектора, соответственно,
- $r(\tau_1, \tau_2)$  - расстояние между элементами мишени и детектора,
- $\sigma(\theta)$  - дифференциальное сечение в лабораторной системе координат под углом реакции  $\theta$ ,
- $\tilde{\theta}(\tau_1, \tau_2)$  - функция  $\tau_1$  и  $\tau_2$  численно равна углу реакции; тильда используется для различия этой функции от используемого обозначения  $\theta$  для угла реакции, как аргумента,
- $\psi(\tau_1, \tau_2)$  - угол между нормалью в точке  $\tau_2$  к поверхности детектора и вектором  $\vec{r}$  соединяющим элементы  $dS$  и  $dV$ ,
- $N$  - число частиц, падающих на  $1 \text{ см}^2$  мишени в  $1 \text{ сек}$ ,
- $n$  - плотность ядер в мишени.

Будем предполагать, что мишень "тонкая", т.е. что потери энергии падающих и регистрируемых частиц в ней несущественны. Тогда полный выход под углом  $\theta_0$  получаем путем интегрирования выражения (1):

$$Y(\theta_0) = N \cdot n \cdot \int_V dV \int_S \cos \psi(\tau_1, \tau_2) \cdot \frac{1}{r^2(\tau_1, \tau_2)} \cdot \sigma(\tilde{\theta}(\tau_1, \tau_2)) dS =$$

$$= N \cdot n \cdot \int_V dV \int_{L(\theta, \tau_1)} d\theta \int \cos \psi(\tau_1, \tau_2) \cdot \frac{\sigma(\tilde{\theta}(\tau_1, \tau_2))}{r^2(\tau_1, \tau_2) |\nabla_2 \tilde{\theta}(\tau_1, \tau_2)|} dl \quad (2)$$

где  $L(\theta, \tau_1)$  - кривая на поверхности детектора, задаваемая уравнением;

$$\tilde{\theta}(\tau_1, \tau_2) = \theta$$

$\nabla_2 \tilde{\theta}(\tau_1, \tau_2)$  - градиент  $\tilde{\theta}(\tau_1, \tau_2)$  при фиксированном  $\tau_1$  в точке  $\tau_2$ ,

$\Theta_0$  - угол установки детектора (условный); в (2) подразумевается зависимость  $\psi(\tau_1, \tau_2)$ ,  $r(\tau_1, \tau_2)$ ,  $\tilde{\Theta}(\tau_1, \tau_2)$  и  $\angle(\theta, \tau_1)$  от  $\theta_0$ .

Введем нормированную функцию распределения  $\Omega(\theta_0, \theta)$  такую, что:

$$\Omega(\theta_0, \theta) = \frac{1}{G(\theta_0)} \int_V dV \int_{\angle(\theta, \tau_1)} \frac{\cos \psi(\tau_1, \tau_2)}{r^2(\tau_1, \tau_2) |\nabla_2 \tilde{\Theta}(\tau_1, \tau_2)|} dl \quad (3)$$

и 
$$\int \Omega(\theta_0, \theta) d\theta = 1 \quad (4)$$

Легко заметить, что нормировочная функция  $G(\theta_0)$  представляет собой полный телесный угол детекции <sup>произведения</sup> (геометрический фактор) под углом  $\theta_0$ .

$$G(\theta_0) = \int d\theta \int_V dV \int_{\angle(\theta, \tau_1)} \frac{\cos \psi(\tau_1, \tau_2)}{r^2(\tau_1, \tau_2) |\nabla_2 \tilde{\Theta}(\tau_1, \tau_2)|} dl \quad (5)$$

Используя (3) для преобразования (2) получаем:

$$Y(\theta_0) = N \cdot n \cdot G(\theta_0) \int \Omega(\theta_0, \theta) \sigma(\theta) d\theta \quad (6)$$

С другой стороны имеем:

$$Y(\theta_0) = N \cdot n \cdot G(\theta_0) \cdot \sigma^{\text{эксп}}(\theta_0) \quad (7)$$

где  $\sigma^{\text{эксп}}(\theta_0)$  - экспериментально полученное значение дифференциального сечения (без учёта влияния конечной геометрии)

Сравнивая (6) и (7) получаем окончательно

$$\sigma^{\text{эксп}}(\theta_0) = \int \Omega(\theta_0, \theta) \sigma(\theta) d\theta \quad (8)$$

Функция распределения  $\Omega(\theta_0, \theta) d\theta$  представляет собой относительный (нормированный) телесный угол для регистрации продуктов реакции, вылетающих в угловом интервале  $\theta, \theta+d\theta$ , с помощью детектора, установленного под углом  $\theta_0$ .

### III. Учёт влияния конечной геометрии.

Задача определения истинного дифференциального сечения сводится к решению интегрального уравнения (7) Фредгольма первого рода. В общем случае такого типа уравнения не решаются (см. например, /7/).

Приближения, используемые в /1/ - /4/ заключаются в разложении  $\sigma(\theta)$  в ряд по степеням  $(\theta - \theta_0)$  и пренебрежении членами выше второй степени. В итоге получаются поправки вида:

$$\sigma(\theta_0) - \sigma^{\text{экс}}(\theta_0) = b \cdot \frac{d\sigma}{d\theta} \Big|_{\theta=\theta_0} + c \cdot \frac{d^2\sigma}{d\theta^2} \Big|_{\theta=\theta_0}$$

где  $b$  и  $c$  некоторые постоянные, в формализме функции распределения, выражающиеся формулами:

$$b = \int \Omega(\theta_0, \theta) \theta d\theta - \theta_0$$

и 
$$c = -\frac{1}{2} \left[ \theta_0^2 + \int \theta^2 \Omega(\theta_0, \theta) d\theta - 2\theta_0 \int \Omega(\theta_0, \theta) \theta d\theta \right]$$

Рассмотрим следствия уравнения (7) в случае, когда измеряются угловые распределения продуктов реакции, идущей через механизм составного ядра. Тогда дифференциальное сечение в системе центра масс может быть представлено в виде линейной комбинации нескольких полиномов Лежандра:

$$\sigma_{\text{цм}}(\vartheta) = \sum_{L=0}^{L_{\text{макс}}} a_L P_L(\cos \vartheta) \quad (9)$$

где  $P_L(\cos\vartheta)$  - полиномы Лежандра.

В лабораторной системе координат можем написать

$$G(\theta) = \sum_{L=0}^{L_{\max}} a_L B_L(\theta) \quad (10)$$

где  $B_L(\theta)$  переведенные в лабораторную систему полиномы Лежандра.

После подстановки (9) в (8) имеем:

$$G^{\text{экс}}(\theta_0) = \sum_{L=0}^{L_{\max}} a_L \tilde{B}_L(\theta_0)$$

где 
$$\tilde{B}_L(\theta_0) \equiv \int B_L(\theta) \Omega(\theta_0, \theta) d\theta$$

Функции  $\tilde{B}_L(\theta_0)$ , где  $L=0, 1, 2 \dots L_{\max}$  являются линейно независимыми, поскольку  $L_{\max}$  конечное и притом небольшое число. Поэтому разложение (10) однозначное.

Для получения истинного углового распределения достаточно разложить измеренное угловое распределение в ряд по функциям  $\tilde{B}_L$  (применяя метод наименьших квадратов и критерии  $\chi^2$ ) и полученные коэффициенты подставить в уравнение (9).

Если не учитывать влияния конечной геометрии разложение  $G^{\text{экс}}(\theta_0)$  имеет вид:

$$G^{\text{экс}}(\theta_0) = \sum_{K=0}^{K_{\max}} b_K B_K(\theta_0) \quad (11)$$

И если теперь перевести функции  $\tilde{B}_L(\theta)$  в систему центра масс затем разложить их в ряды по полиномам Лежандра, то полученные коэффициенты разложения образуют матрицу  $D$ , связывающую истинные коэффициенты  $a_L$  с измеряемыми  $b_K$ , определенными по (11).

$$b_k = \sum_{L=0}^{L_{\max}} D_{kL} a_L \quad (12)$$

Матрица  $D$  описывает влияние данной конечной геометрии на измеряемое угловое распределение и имеет в общем бесконечные размеры. При переходе к идеальной геометрии она превращается в единичную матрицу.

Для практических целей более удобная матрица поправок такая, что

$$a_L = b_L + \sum_{K=0}^{L_{\max}} C_{LK} b_K \quad (13)$$

При определенном  $L_{\max}$ , матрица  $C$  задается однозначно уравнениями (12) и (13).

В пределе идеальной геометрии матрица  $C$  становится нулевой.

#### Пример I

Рассмотрим геометрию, применяемую нами для измерения нейтронных спектров из реакции  ${}^7\text{Li}(d, n)$  (161, 171). На рис. 2 даны функции распределения для некоторых значений углов  $\theta_0$ , рассчитанные на ЭВМ БЭСМ-4. На этом же рисунке изображена схема геометрии эксперимента. Как показали расчеты, компоненты матриц  $C$  соответствующих различным энергиям падающих дейтронов не превышают 0,05. Так, например, для  $E_d = 2$  Мэв и нейтронов  $n_0$  ( $Q = 15,02$  Мэв) в предположении  $L_{\max} = 6$  матрица  $C$  равна:



$$C = \begin{pmatrix} -1,8 & +1,7 & -1,3 & +0,3 & -0,0 & -0,3 & -0,6 \\ -5,0 & -5,6 & +2,3 & -2,5 & +0,2 & -0,4 & +0,3 \\ -2,7 & +3,5 & -3,2 & +2,2 & -3,0 & +1,0 & -0,3 \\ -0,3 & -0,6 & +3,5 & -2,8 & +3,1 & -3,5 & +0,8 \\ +0,7 & +0,1 & -1,2 & +2,7 & -3,4 & +2,7 & -4,1 \\ +1,2 & -0,6 & +0,3 & +0,5 & +2,9 & -2,9 & +3,4 \\ -2,1 & +1,5 & -0,4 & -0,3 & +0,2 & +3,3 & +0,5 \end{pmatrix} \times 10^{-2}$$

Видим, что угловое разрешение  $6^\circ \pm 8^\circ$  (полуширина функции распределения) требует введения поправок порядка  $2 \pm 5\%$  для доминирующих коэффициентов разложения по полиномам Лежандра. Для коэффициентов, которые малы в силу механизма реакции эти поправки могут быть весомыми.

Пример II.

Формализм функции распределения позволяет легко учесть влияние конечной геометрии на дифференциальное сечение, измеряемое под углом  $0^\circ$ . Рассмотрим это на примере геометрии, используемой нами для измерения с газовой мишенью ~~###~~. Схема геометрии и соответствующая функция распределения  $\Omega(\theta)$  дана на рис.3.

Разложим  $\sigma(\theta)$ :

$$\sigma(\theta) = \sigma(0) + \sigma'(0) \cdot \theta + \frac{1}{2} \sigma''(0) \theta^2 + \dots$$

и подставим в формулу (8). Тогда получаем

$$\sigma^{\text{эксн}}(0) = \sigma(0) + \sigma'(0) \cdot \Theta_1 + \frac{1}{2} \sigma''(0) \Theta_2^2 \quad (I4)$$

где  $\Theta_1 \equiv \int \Omega(\theta) \cdot \theta d\theta$

и  $\Theta_2 \equiv \left( \int \Omega(\theta) \cdot \theta^2 d\theta \right)^{1/2}$

Для указанной геометрии  $\theta_1 = 1,14^\circ$  и  $\theta_2 = 1,24^\circ$ .

Введем эффективный угол  $\theta_{\text{эфф}}$  такой, что

$$b^{\text{эксн}}(0) = b(\theta_{\text{эфф}})$$

и заметим, что

$$b(\theta_{\text{эфф}}) = b(0) + b'(0) \cdot \theta_{\text{эфф}} + \frac{1}{2} b''(0) \theta_{\text{эфф}}^2 \quad (15)$$

Возможны два случая:

$$1. \quad \frac{b'(0)}{b''(0)} \geq 0 \quad (16)$$

Этот случай чаще всего встречается на практике. Легко показать на основании (14) - (16), что, тогда

$$\theta_1 \leq \theta_{\text{эфф}} \leq \theta_2$$

откуда  $\theta_{\text{эфф}} = 1,19^\circ \pm 0,05^\circ$

$$2. \quad \frac{b'(0)}{b''(0)} < 0$$

За исключением редких случаев, когда  $-0,04 < \frac{b'(0)}{b''(0)} < 0$  выполняется для нашей геометрии

$$1,02^\circ < \theta_{\text{эфф}} < 1,14^\circ, \text{ т.е. } \theta_{\text{эфф}} = 1,08 \pm 0,06^\circ$$

Для случаев  $-0,04 < \frac{b'(0)}{b''(0)} < 0$  требуется более детальное знание производных  $b'(0)$  и  $b''(0)$ .

Метод эффективного угла имеет большое преимущество по сравнению с методами, указанными в /1/ - /4/, поскольку, как правило, требует он лишь качественного знания поведения  $b(\theta)$  вблизи  $0^\circ$ , в то время, когда поправки в /1/ - /4/ прямо зависят от  $b'(0)$  и  $b''(0)$ .

Отметим еще, что в случае, рассматриваемом в примере I, имеем  $\sigma'(0) \cong 0$  (из-за механизма реакции)

и  $\Theta_{эфф} = \Theta_2 \cong 4^\circ$

Заключение.

Использование формализма функции распределения в значительной мере улучшает качество физической информации, извлекаемой из измерений угловых распределений, проводимых с плохим угловым разрешением в случае, когда реакция протекает путём механизма составного ядра. Этот формализм полезен также при описании угловых распределений прямых реакций с помощью теоретических кривых (кривые Баттлера или метод искаженных волн). В этих случаях с экспериментом следует сравнивать <sup>"исправленную"</sup> теоретическую кривую:

$$\sigma^{испр}(\theta_0) = \int \Omega(\theta_0, \theta) \sigma^{теор}(\theta) d\theta$$

При измерении дифференциального сечения под углом  $0^\circ$  этот формализм позволяет легко скомпенсировать влияние конечной геометрии.

Григорьев  
В.С. Ке  
В.С. Ке

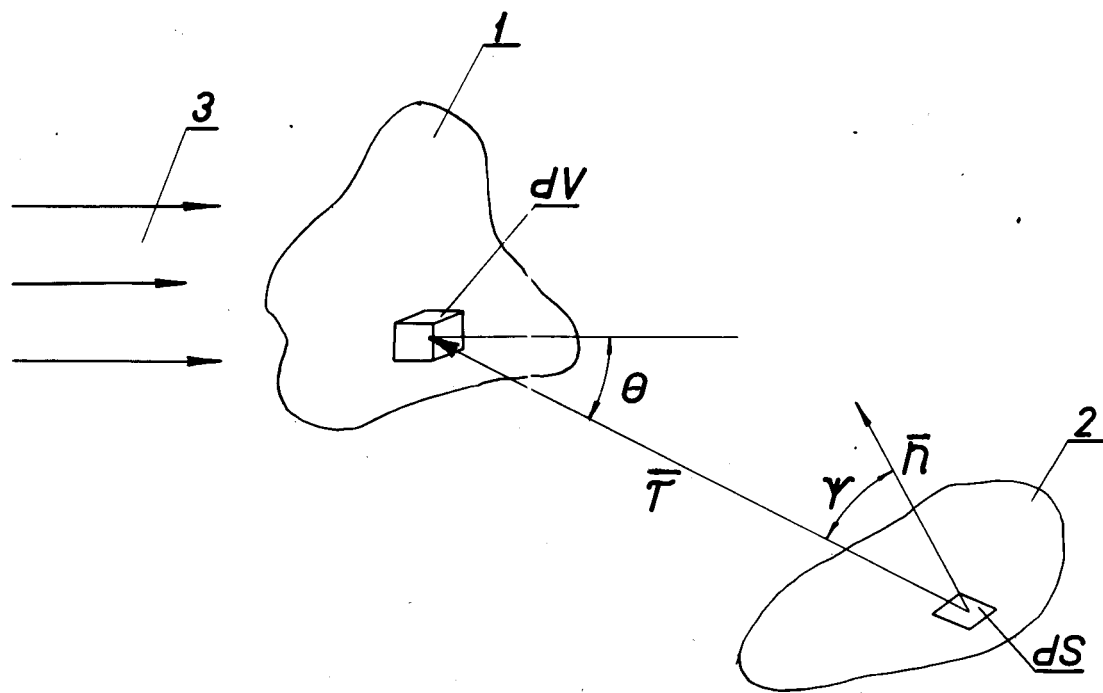


Рис. I Геометрия измерения выхода продуктов реакции.  
1 - объем мишени; 2 - поверхность детектора;  
3 - поток падающих частиц;  $\vec{n}$  - нормаль к  
поверхности детектора.

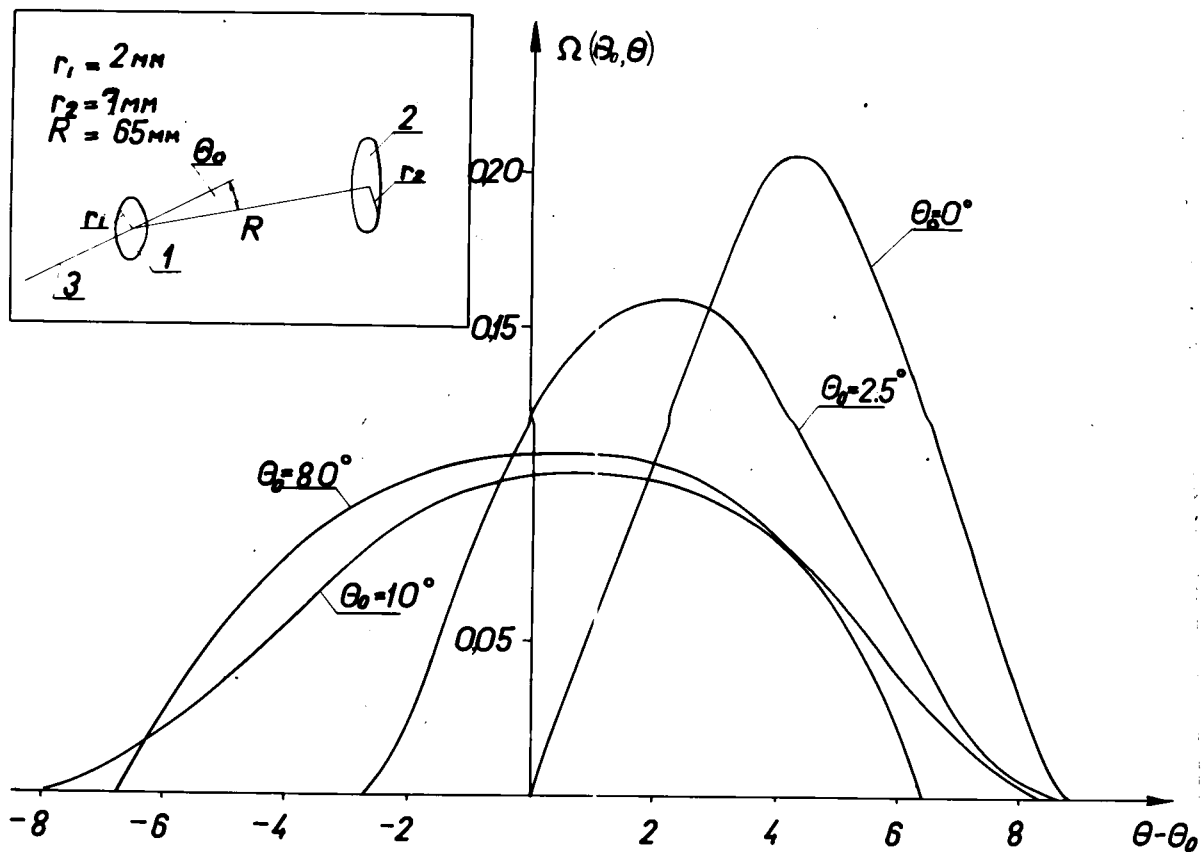


рис. 2    Функция распределения для геометрии нейтронного спектрометра (пример I).

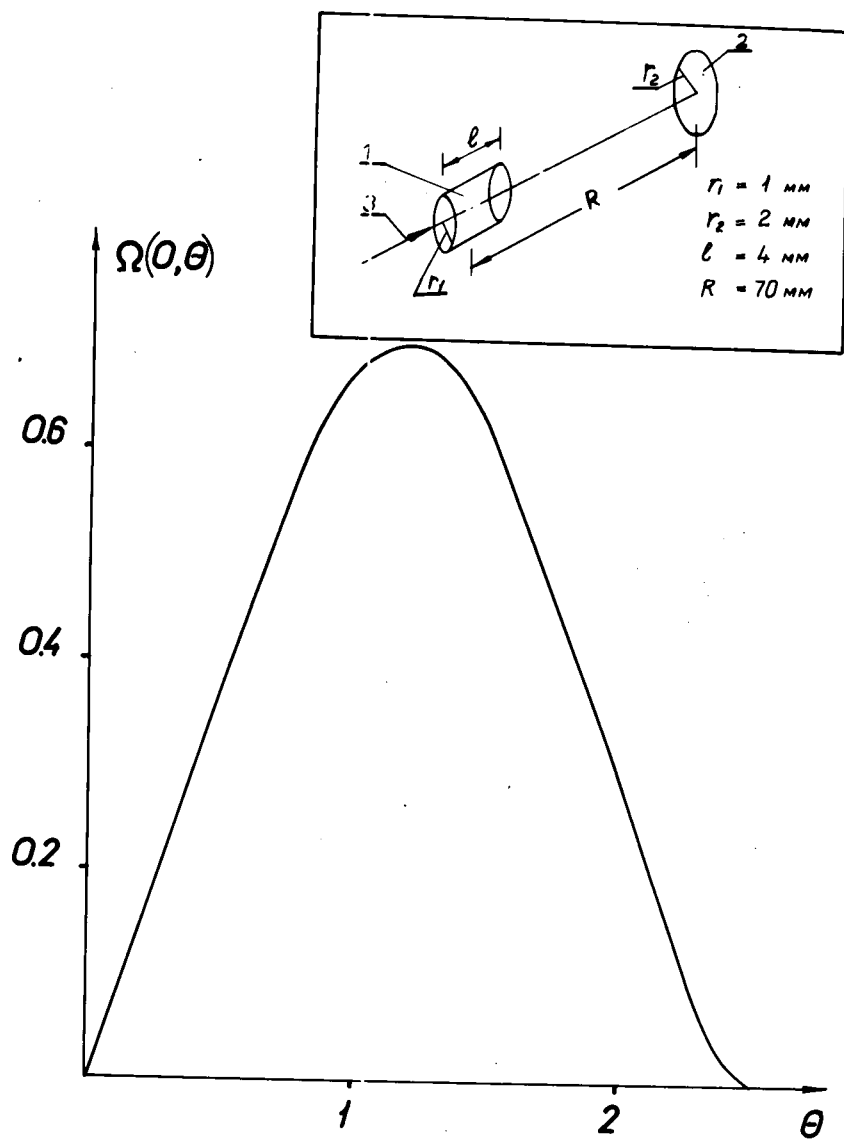


Рис.3 Функция распределения для измерений с использованием газовой мишени.

Литература:

- /1/ E.M. Lyman, H.O. Hanson, M.B. Scott Phys. Rev. 84, 686 (1951)
- /2/ I.E. Dayton, G. Schrank Phys. Rev. 101, 1358 (1956)
- /3/ Люк К.Л.Юан, Ву Цзянь-сюн. Измерение характеристик ядерных реакций и пучков частиц, Изд. "Мир", Москва (1965), гл. I, § 5.
- /4/ А.Собичевски, Я.Тыс, Препринт ОИЯИ 2899. (1966)
- /5/ В.И.Смирнов, Курс высшей математики т.4, гл. I, Москва, 1958.  
Изд. "Высшая школа".
- /6/ Г.М.Осетинский, Б.Сикора, Я.Тыкэ, Б.Фрыщин.  
Препринт ОИЯИ P15-5143 (1970).
- /7/ Я.Тыкэ, Б.Фрыщин, Б.Сикоре  
ПТЭ № 3 (1970) 77-79.